

## Kompendium der diskreten Mathematik

Bernd Baumgarten

ISBN: 978-3-486-75697-5

© 2014 Oldenbourg Wissenschaftsverlag GmbH, München

## Abbildungsübersicht / List of Figures Tabellenübersicht / List of Tables

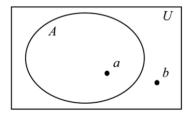
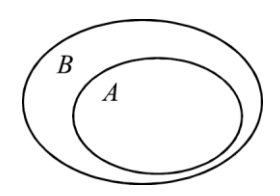
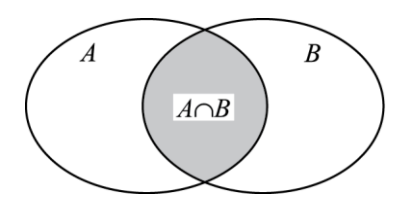


Abb. 2.1: Ein Mengendiagramm



**Abb. 2.2:** A ⊆ B



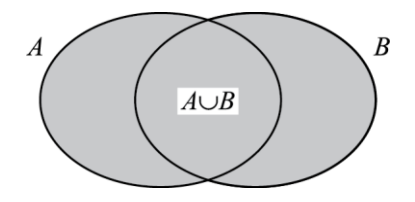


Abb. 2.3: Durchschnitt und Vereinigung

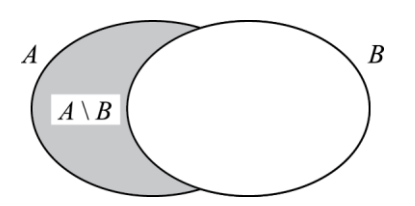


Abb. 2.4: Mengendifferenz

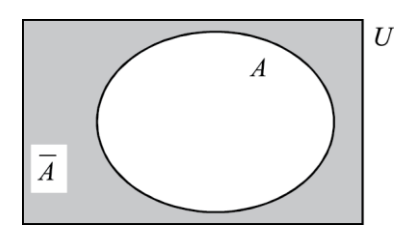
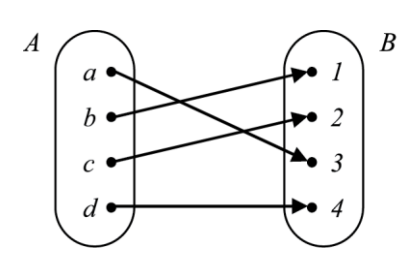


Abb. 2.5: Relatives Komplement



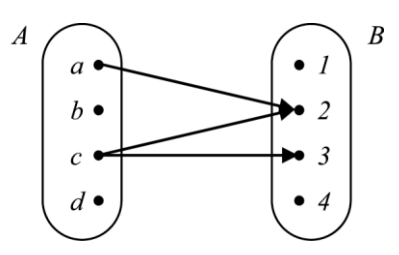


Abb. 3.1: Zwei Relationen mit unterschiedlichen Eigenschaften

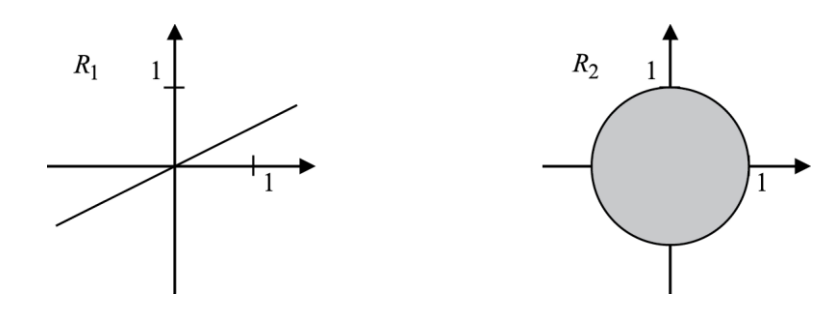


Abb. 3.2: Vier Relationen mit je einer ausgewählten Eigenschaft

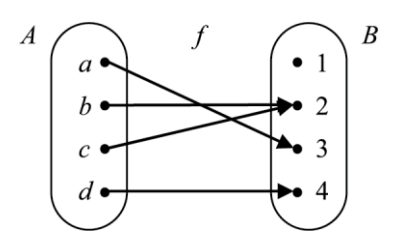
$A \setminus B$	1	2	3	4
а			Х	
b	Х			
c		Χ		
d				Х

$A \setminus B$	1	2	3	4
а		Χ		
b				
c		Х	Х	
d				

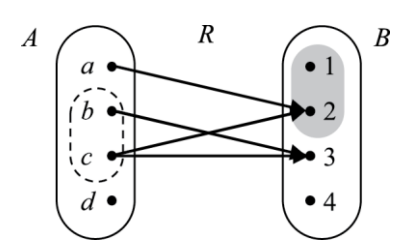
Tab. 3.1: Tabellarische Darstellung der beiden Relationen aus Abb. 3.1



**Abb. 3.3:** Zwei Relationen auf den reellen Zahlen<sup>27</sup>:  $R_1(x, y) :\Leftrightarrow y = x/2$  (links) und  $R_2(x, y) :\Leftrightarrow x^2 + y^2 \le 1$  (rechts)



**Abb. 3.4:** Eine Abbildung  $f: A \rightarrow B$ 



**Abb. 3.5:** Eine Relation R und exemplarische Teilmengen von A bzw. B

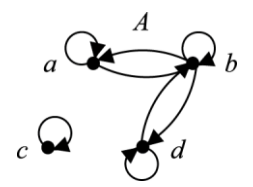
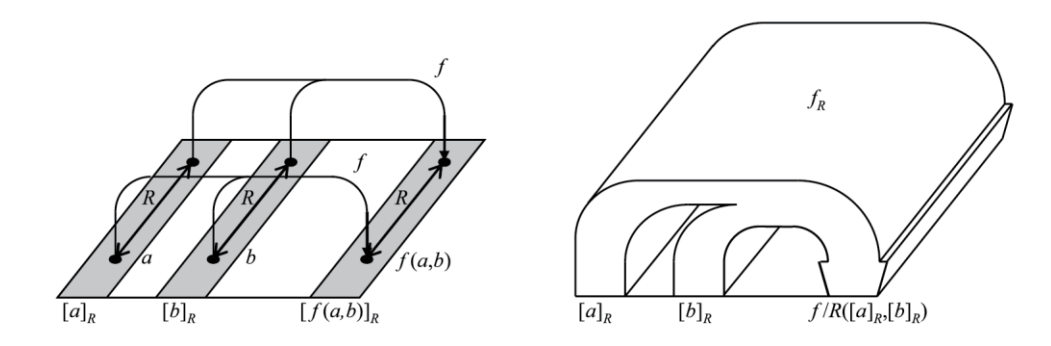


Abb. 3.6: Eine Äquivalenzrelation



**Abb. 3.7:** Eine Kongruenz R bezüglich f und die Klassenabbildung f/R von f bezüglich der Kongruenz

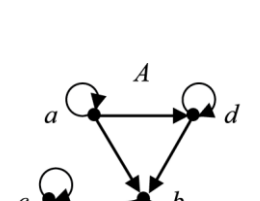
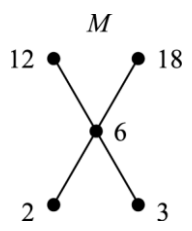




Abb. 3.8: Eine Halbordnung als Pfeil- und als Hasse-Diagramm



**Abb. 3.9:** Eine Halbordnung zur Illustration besonderer Elemente

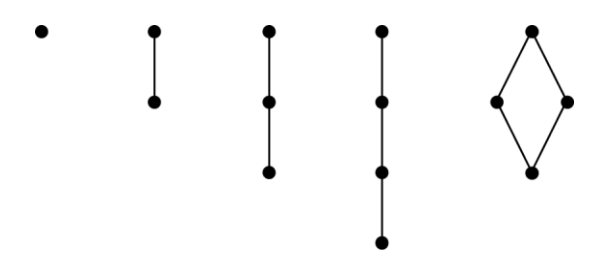
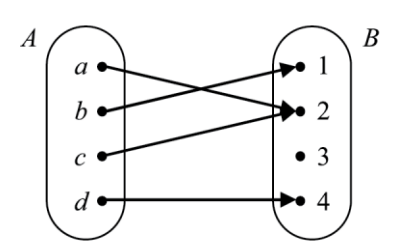
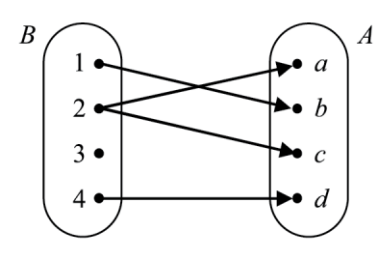
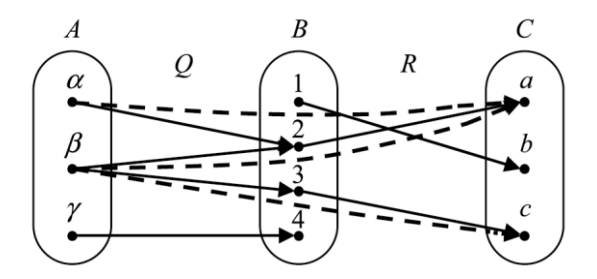


Abb. 3.10: Verbände mit 1, 2, 3 und 4 Elementen





**Abb. 3.11:** Eine Relation (links) und ihr Inverses (rechts)



**Abb. 3.12:** Die Verkettung *QR* (gestrichelt) zweier Relationen (jeweils durchgezogen)

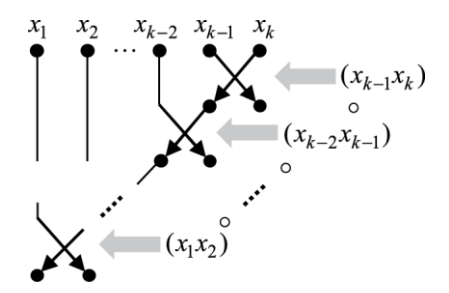


Abb. 3.13: Ein Zyklus als Produkt von Transpositionen

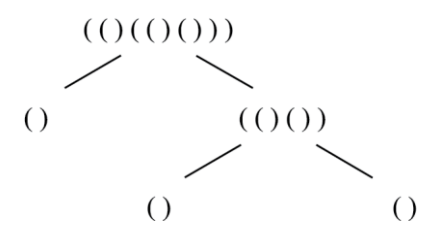


Abb. 3.14: Der Aufbau eines binären Klammerausdrucks

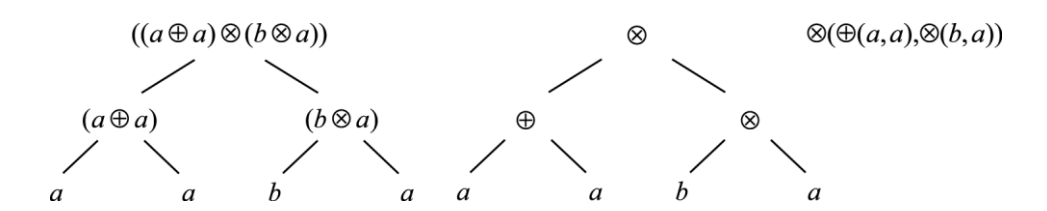


Abb. 3.15: Drei Darstellungsweisen der Induktionshistorie eines Terms



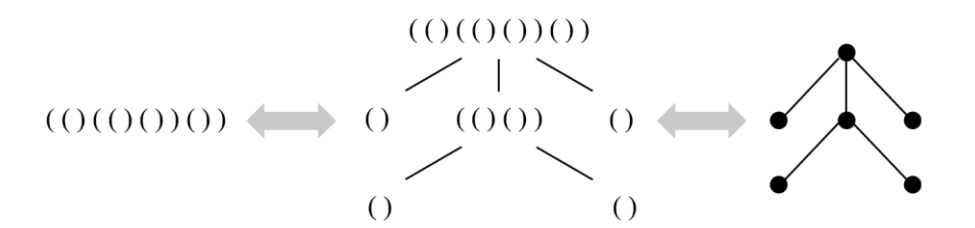
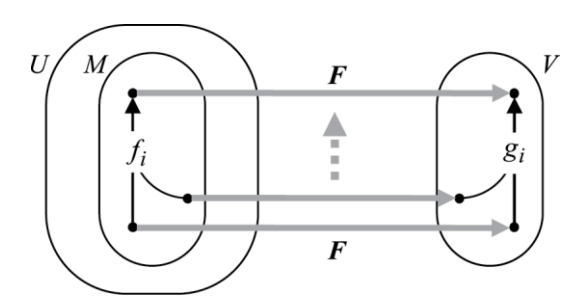


Abb. 3.16: Ein Baum als Klammerausdruck, als Aufbaubaum des Ausdrucks und als Graph

Funktion	Wortlänge   w	Verkettung $v \circ w$
auf Basismenge	$\mid \varepsilon \mid := 0$	$v \circ \varepsilon \coloneqq 1$
bei Erweiterungsschritt	wa  :=  w  + 1	$v \circ (wa) := (v \circ w)a$

Tab. 3.2: Wortlänge und -verkettung als Beispiele rekursiv definierter Funktionen.



**Abb. 3.17:** Die Vertauschbarkeit von Abbildung und Erweiterungsschritten – das Prinzip der rekursiven Funktionsdefinition auf einer induktiv definierten Menge

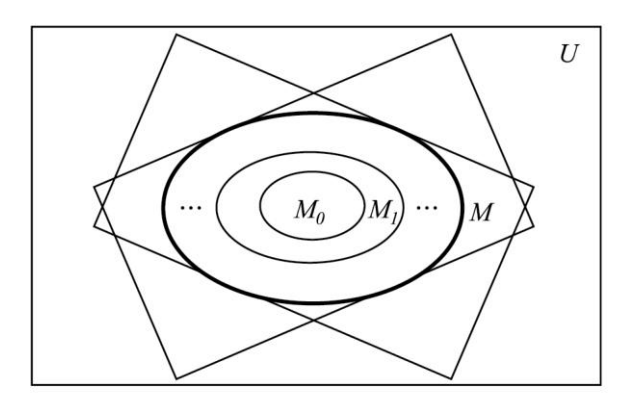


Abb. 3.18: "Annäherungsweisen" an eine induktiv definierte Menge

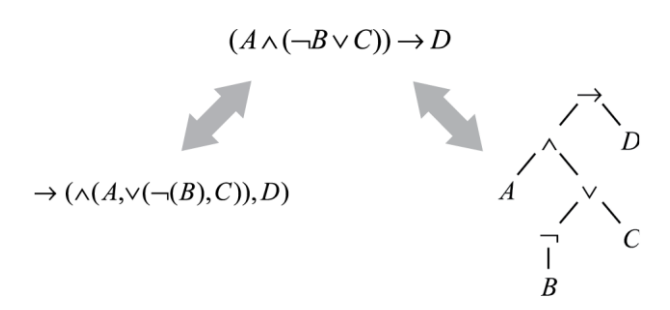


Abb. 4.1: Eine Formel (Mitte) und ihre Induktionshistorie als Funktionsterm (links) bzw. Syntaxbaum (rechts)

$\varphi$	$\neg \varphi$
W	F
F	W

$\varphi$	Ψ	$\varphi \wedge \psi$	$\varphi \lor \psi$	$\varphi \rightarrow \psi$	$\varphi \leftrightarrow \psi$
W	W	W	W	W	W
W	F	F	W	F	F
F	W	F	W	W	F
F	F	F	F	W	W

Tab. 4.1: Die Junktorensemantik

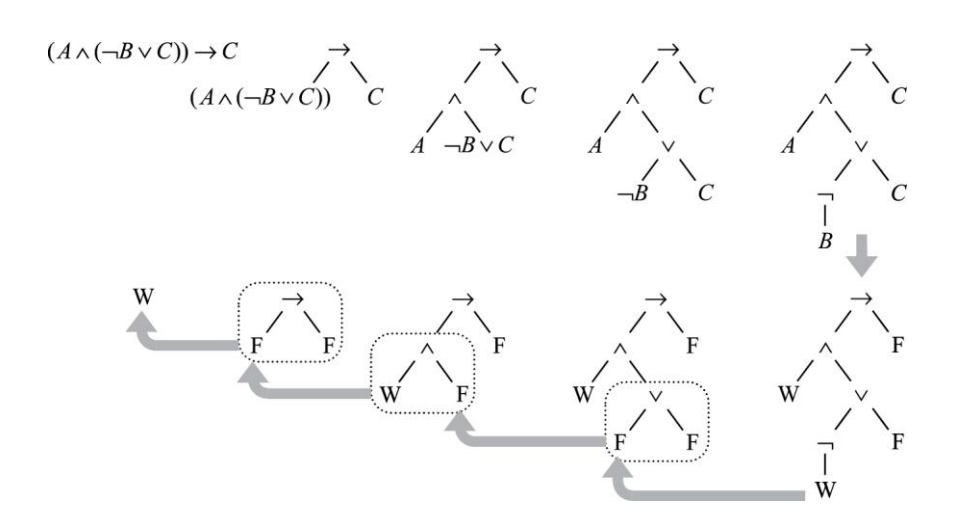


Abb. 4.2: Rekursive Berechnung eines Wahrheitswerts – bildlich

A	В	С	$\neg B$	$\neg B \lor C$	$A \wedge (\neg B \vee C)$	$(A \land (\neg B \lor C)) \to C$
W	W	W	F	W	W	W
W	W	F	F	F	F	W
W	F	W	W	W	W	W
W	F	F	W	W	W	F
F	W	W	F	W	F	W
F	W	F	F	F	F	W
F	F	W	W	W	F	W
F	F	F	W	W	F	W

Tab. 4.2: Rekursive Berechnung des Wahrheitswerteverlaufs – mittels einer Wahrheitstafel

(A	^	(¬	В	٧	C))	$\rightarrow$	C
W	W	F	W	W	W	W	W
W	F	F	W	F	F	W	F
W	W	W	F	W	W	W	W
W	$\mathbf{W}$	W	F	W	F	F	F
F	F	F	W	W	W	W	W
F	F	F	W	F	F	W	F
F	F	W	F	W	W	W	W
F	F	W	F	W	F	W	F

Tab. 4.3: Die In-situ-Form der gleichen Wahrheitstafel

$\varphi$ ist	$\Leftrightarrow$	Im Wahrheitswerteverlauf von $\varphi$ kommt vor
allgemeingültig		nur W
erfüllbar		W
kontingent		W und F
widerlegbar		F
unerfüllbar		nur F

Tab. 4.4: Semantische Eigenschaften und Wahrheitswerteverlauf

8				2	9	5		7
	5						8	
9		4			5	2		
1		3						
4				3				8
						7		6
		5	6			8		3
	7						9	
3		1	4	7				2

8	1	6	3	2	9	5	4	7
7	5	2	1	4	6	3	8	9
9	3	4	7	8	5	2	6	1
1	8	3	9	6	7	4	2	5
4	6	7	5	3	2	9	1	8
5	2	9	8	1	4	7	3	6
2	4	5	6	9	1	8	7	3
6	7	8	2	5	3	1	9	4
3	9	1	4	7	8	6	5	2

Abb. 4.3: Das Sudoku-Feld, eine Sudoku-Aufgabe und ihre Lösung

Aspekt	Substitution	Ersetzung
Was wird ersetzt?	Aussagevariablen	Teilformeln
Welche Vorkommen?	alle (aber evtl. alle ohne Änderung)	0, 1, mehrere oder alle
Wodurch?	beliebige Formeln, gleiche Formeln für gleiche Variable	äquivalente Formel für gleiche Teilformeln
Wirkung im Syntaxbaum	Alle gleichnamigen Blätter werden durch jeweils den gleichen Ast ersetzt.	Einige gleiche Äste werden durch je einen dazu äquivalenten Ast ersetzt.
Ergebnis äquivalent?	ja, falls Tautologie oder unerfüllbar	ja, immer

**Tab. 4.5:** Unterschiede zwischen Substitution und Ersetzung in der Aussagenlogik

$\varphi$	ψ	Т	<b>V</b>	$\leftarrow$	$\varphi$	$\rightarrow$	Ψ	$\leftrightarrow$	٨	<b>↑</b>	↔	$\neg \psi$	$\not\rightarrow$	$\neg \varphi$	₩	$\downarrow$	Τ
W	W	W	W	W	W	W	W	W	W	F	F	F	F	F	F	F	F
W	F	W	W	W	W	F	F	F	F	W	W	W	W	F	F	F	F
F	W	W	W	F	F	W	W	F	F	W	W	F	F	W	W	F	F
F	F	W	F	W	F	W	F	W	F	W	F	W	F	W	W	W	F

Tab. 4.6: Die 16 möglichen zweistelligen Junktoren

φ	Т	$\varphi$	$\neg \varphi$	Τ
W	W	W	F	F
F	W	F	W	F

Tab. 4.7: Die vier möglichen einstelligen Junktoren

A	В	С		φ
:	:	÷	:	÷
W	W	F		W
:	÷	÷	:	÷
F	W	W		F
:	:	:	:	:

**Tab. 4.8:** Zwei gewünschte Wahrheitswerte für gegebene Argumente

A	В	С	$(A \land (\neg B \lor C)) \to C$
W	W	W	W
W	W	F	W
W	F	W	W
W	F	F	F
F	W	W	W
F	W	F	W
F	F	W	W
F	F	F	W

Tab. 4.9 (links): Wahrheitswerteverlauf für eine Formel

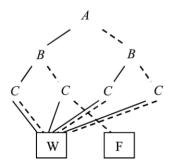


Abb. 4.4 (rechts): Entscheidungsbaum für diese Formel

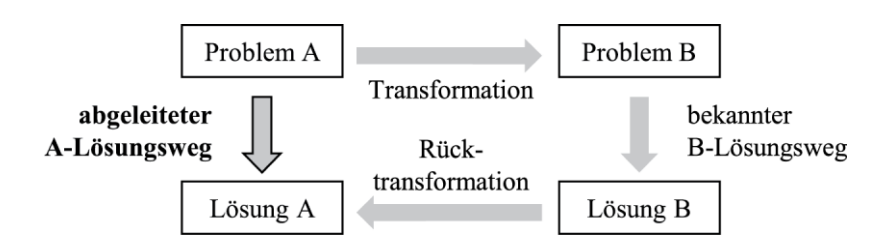


Abb. 4.5: Das Schema einer Problemreduktion

Klauseln↓	A	В	$\neg B$	$A \rightarrow \neg B$	$\neg (A \rightarrow \neg B)$	$A \wedge \neg B$	$\neg (A \rightarrow \neg B) \lor (A \land \neg B)$
	W	W	F	F	W	F	W
	W	F	W	W	F	W	W
$((A \lor \neg B) \land \longleftarrow$	F	W	F	W	F	F	F
$(A \vee B)$ )	F	F	W	W	F	F	F

**Tab. 4.10:** KNF-Herleitung aus der Wahrheitstafel, Beispiel

Klauseln↓	A	В	$\neg B$	$A \rightarrow \neg B$	$\neg (A \rightarrow \neg B)$	$A \wedge \neg B$	$\neg (A \to \neg B) \lor (A \land \neg B)$
$(A \wedge B) \vee$	W	W	F	F	W	F	W
$(A \land \neg B))$	W	F	W	W	F	W	W
	F	W	F	W	F	F	F
	F	F	W	W	F	F	F

Tab. 4.11: DNF-Herleitung aus der Wahrheitstafel, Beispiel

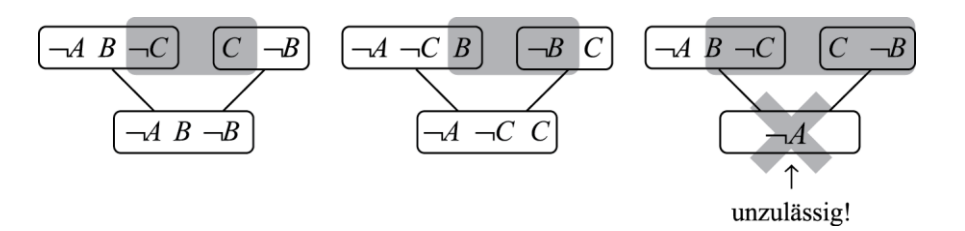
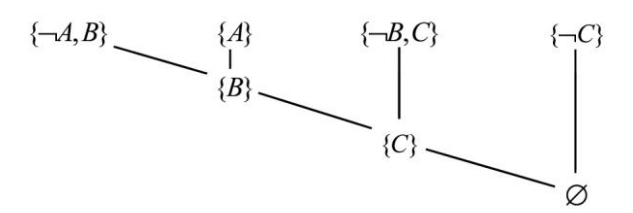


Abb. 4.6: Zwei gültige Resolutionsschritte ... und ein häufig auftretendes Missverständnis.



**Abb. 4.7:** Resolution zum Nachweis der Unerfüllbarkeit von  $(\neg A \lor B) \land (\neg B \lor C) \land A \land \neg C$ ; gleichzeitig Nachweis der Allgemeingültigkeit von  $(\neg A \land B) \lor (\neg B \land C) \lor A \lor \neg C$  per Dualresolution (siehe Folgetext)

1.	$\frac{\neg(\varphi \rightarrow \psi)}{\varphi}$ $\neg \psi$	5.	$\frac{\varphi \to \psi}{\neg \varphi \mid \psi}$
2.	$\dfrac{arphi \wedge \psi}{arphi} \ \psi$	6.	$\frac{\neg(\varphi \land \psi)}{\neg \varphi \mid \neg \psi}$
3.	$\frac{\neg(\varphi \lor \psi)}{\neg \varphi}$ $\neg \psi$	7.	$\frac{arphi \lor \psi}{arphi \mid \psi}$
4.	$ \frac{\varphi \leftrightarrow \psi}{\varphi \to \psi} \\ \psi \to \varphi $	8.	$\frac{\neg(\varphi \leftrightarrow \psi)}{\neg(\varphi \to \psi)   \neg(\psi \to \varphi)}$
		9.	$\frac{\neg \neg \varphi}{\varphi}$

Tab. 4.12: Tableauregeln

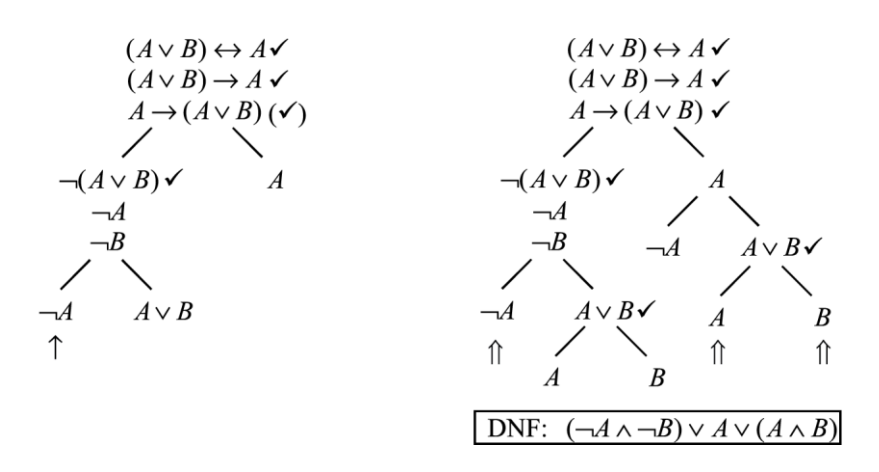


Abb. 4.8: Erfüllbarkeitsnachweis (links) und DNF-Umformung (rechts) mit Tableaubäumen

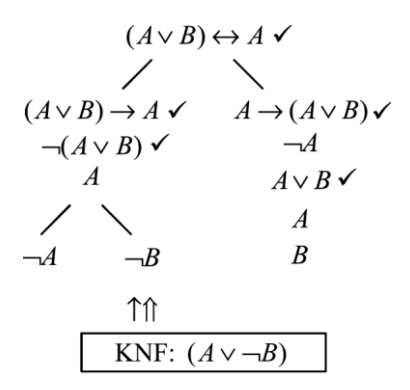


Abb. 4.9: Widerlegbarkeitsnachweis und KNF-Umformung mit Dualtableauverfahren

Oder-Einführungen, OE		Oder-Benutzungen, OB			
$\hspace{1cm} \hspace{1cm} \varphi \hspace{1cm} \hspace{1cm} \psi \hspace{1cm}$	$\varphi \lor \psi, \neg \varphi$	$\varphi \lor \psi, \ \neg \psi$	$\varphi \lor \psi, \ \varphi$	$\rightarrow \rho, \ \psi \rightarrow \rho$	
$\frac{\varphi}{\varphi \vee \psi}$ $\frac{\psi}{\varphi \vee \psi}$	Ψ	$\overline{\varphi}$		ο	
Und-Einführung, UE	Und-Benutz	ungen, UB	NegNeg-Eint	führung, NNE	
$\frac{\varphi, \ \psi}{\varphi \wedge \psi}$	$\varphi \wedge \psi$	$\varphi \wedge \psi$		<u>p</u>	
$\varphi \wedge \psi$	$\varphi$	Ψ		$\overline{\neg \neg \varphi}$	
NegNeg-Benutzung, NNB	Gdw-Einfül	nrung, GE	Gdw-Benutzungen, GB		
$ar{-}$	$\varphi \rightarrow \psi, \ \psi \rightarrow \varphi$		$\varphi \leftrightarrow \psi$	$\varphi \leftrightarrow \psi$	
arphi	$\varphi \leftrightarrow \psi$			$\psi \rightarrow \varphi$	
Widerspruch-Einführung, WE	Widerspruch-Benutzung, WB		Modus Po	onens, MP	
$\frac{arphi,  eg arphi}{arphi}$	<u> </u>		$\varphi, \ \varphi \rightarrow \psi$		
<b>T</b>	$\varphi$			V	
Modus Tollens, MT	Neg-Und-Benutzungen, NUB		Neg-Oder-Be	nutzung, NOB	
$\varphi \rightarrow \psi, \ \neg \psi$	$\neg(\varphi \land \psi)$	$\neg(\varphi \land \psi)$	$\neg(\varphi \lor \psi)$	$\neg (\varphi \lor \psi)$	
$\neg \varphi$	$\psi \rightarrow \neg \varphi$	$\varphi \rightarrow \neg \psi$	eg arphi	$\neg \psi$	
Neg-Folg-Benutzung, NFB	Neg-Gdw-Benutzungen, NGB		Wiederholung, WDH		
$\overline{-(\varphi \rightarrow \psi)}$	$\neg(\varphi \leftrightarrow \psi)$	$-(\varphi \leftrightarrow \psi)$	<u> </u>	$\underline{\rho}$	
$\varphi \wedge \neg \psi$	$\neg \varphi \leftrightarrow \psi$			P	

**Tab. 4.13:** Schlussregeln des aussagenlogischen Werkzeugkastens

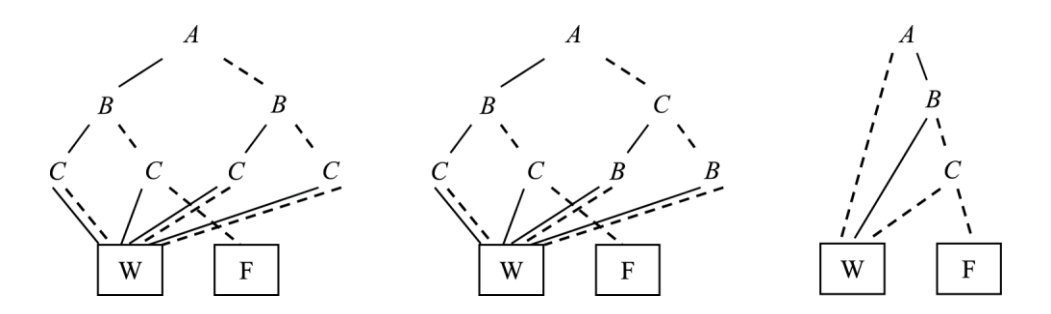
Direkter l	Beweis (DB)	Indirekter	r Beweis (IB)	Bedingter	<b>Bedingter Beweis</b> (BB)	
Zeige $\varphi$		Zeige $\varphi$		Zeige $\varphi$	$\psi$	
	:	$\mid \neg \varphi$	Ann	$\mid \varphi$	Ann	
$\varphi$		:		:		
$\varphi$	DB	⊥		$ \psi $		
		arphi	IB	$\varphi \rightarrow \psi$	BB	

Abb. 4.10: Werkzeugkasten – Beweisschemata für Blöcke

G G

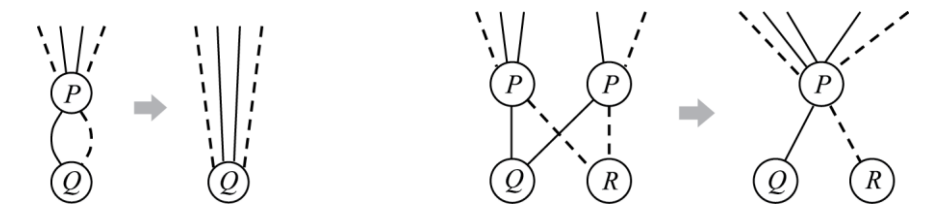
	Zeige $A \vee \neg A$		1	$A \to (B \to C)$	Geg
1	$\neg (A \lor \neg A)$	Ann		Zeige $(A \to B) \to (A \to C)$	
2	$\neg A$	NOB, 1	2	$A \rightarrow B$	Ann
3		NOB, 1		Zeige $A \rightarrow C$	
4	⊥	WE, 2,3	3		Ann
6	$A \vee \neg A$	IB	4	$\mid \mid \mid B \mid$	MP, 2,3
			5	$ \begin{array}{c} B \\ B \rightarrow C \end{array} $	MP, 1,3
			6	I I C	MP, 4,5
			7	$A \rightarrow C$	BB
			8	$(A \to B) \to (A \to C)$	BB

**Abb. 4.11:** Werkzeugkasten – zwei Anwendungsbeispiele



**Abb. 4.12:** Äquivalente OBDD, BDD und ROBDD





**Abb. 4.13:** Reduktionsschritte beim OBDD – links: Überspringen, rechts: Verschmelzen

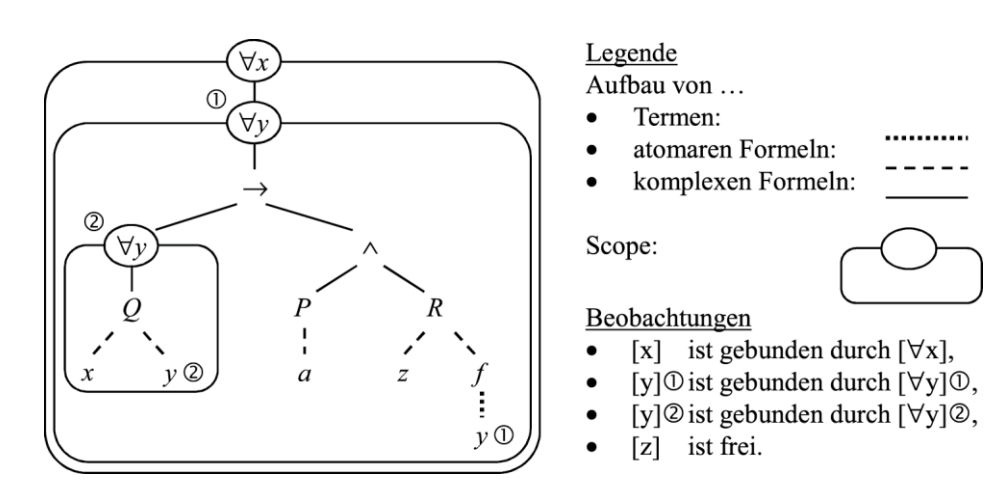
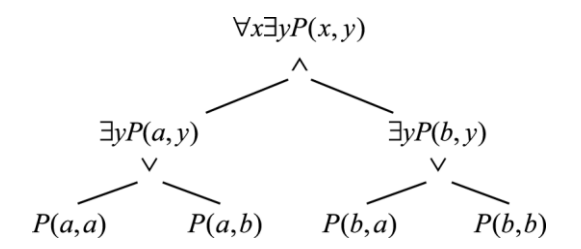


Abb. 4.14: Formelaufbau und syntaktische Begriffe an einem Beispiel



**Abb. 4.15:** Quantorenauswertung bei endlichem Universum  $U = \{a,b\}$  als Konjunktion bzw. Disjunktion

## All-Beweis (AB) Zeige $\forall x \varphi$ $\sigma$ ist eine oberhalb Zeige $\varphi_{[x/\sigma]}$ im Beweis noch nicht verwendete $\varphi_{[x/\sigma]}$ $\forall x \varphi$ AB

Abb. 4.16: Das neue Beweisschema des PL1-Werkzeugkastens: der All-Beweis

Spezialisierung, Sp	Existenz-Benutzung, EB	Existenz-Einführung, EE
$\forall x \varphi$	$\exists x \varphi$	$oldsymbol{arphi}_{[x/ au]}$
$oldsymbol{arphi}_{[x/ au]}$	$oldsymbol{arphi}_{[x/\sigma]}$	$\exists x \varphi$
NegEx-Benutzung, NEB	NegAll-Benutzung, NAB	Hier ist jeweils $ au$ ein Term ohne
$\neg \exists x \varphi$	$\neg \forall x \varphi$	Variablennamen und $\sigma$ ein neues
$\overline{\forall x \neg \varphi}$	$\exists x \neg \varphi$	Konstantensymbol.

Tab. 4.14: Neue Schlussregeln des PL1-Werkzeugkastens

	Zeige $\forall x P(f(a,x)) \rightarrow \exists x P(f(x,a))$	
1	$\forall x P(f(a,x))$	Ann
	Zeige $\exists x P(f(x,a))$	
2	$\neg \exists x P(f(x,a))$	Ann
3	$\forall x \neg P(f(x,a))$	NEB,2
4	$\neg P(f(a,a))$	Sp, 3
5	P(f(a,a))	Sp, 1
6		WE, 4,5
7	$\exists x P(f(x,a))$	IB
8	$\forall x P(f(a,x)) \to \exists x P(f(x,a))$	BB

**Abb. 4.17:** Ein Beweis, dass  $\forall x P(f(a, x)) \rightarrow \exists x P(f(x, a))$  eine Tautologie ist

DE G

1	$\forall x (P(x))$	(x) —	$\rightarrow Q(x)$ )	Geg			
2	$\forall x R($	Geg					
	Zeige	$\forall x ($	$P(x) \to \exists y (Q(y) \land R(f(x), y)))$				
		Zeige	$P(a) \to \exists y (Q(y) \land R(f(a), y))$				
3		1	P(a)	Ann			
		2	Zeige $\exists y (Q(y) \land R(f(a), y))$				
4			$P(a) \rightarrow Q(a)$	Sp, 1			
5			Q(a)	MP, 3,4			
6			R(f(a),a)	Sp, 2			
7			$Q(a) \wedge R(f(a), a)$	UE, 4,5			
8			$\exists y (Q(y) \land R(f(a), y))$	EE, 7			
9		=	$\exists y (Q(y) \land R(f(a), y))$	DB			
10	1	P(a)	$\rightarrow \exists y (Q(y) \land R(f(a), y))$	BB			
11	11 $\forall x (P(x) \to \exists y (Q(y) \land R(f(x), y)))$ AB						

**Abb. 4.18:** Beweis, dass  $\forall x (P(x) \rightarrow \exists y (Q(y) \land R(f(x), y)))$  aus  $\forall x (P(x) \rightarrow Q(x))$  und  $\forall x R(f(x), x)$  folgt

D	Ε
[	7
•	י

Nr.	Regelname	Regel	Begründung/Schlagwort
10.	Spezialisierung	$\frac{\neg \forall x \varphi}{\exists x \neg \varphi}$	Substitutionssatz ( $\tau$ konstanter Term <sup>75</sup> )
11.	Negativ-Spezialisierung	$\frac{\neg \exists x \varphi}{\neg \varphi_{[x/\tau]}}$	Substitutionssatz, Dualität
12.	Existenzbenutzung	$\frac{\exists x \varphi}{\varphi_{[x/\sigma]}}$	"Nennen wir es c." (c <i>neue</i> Konstante)
13.	Negativ-Allbenutzung	$\frac{\neg \forall x \boldsymbol{\varphi}}{\neg \boldsymbol{\varphi}_{[x/c]}}$	"Nennen wir es c.", Dualität (c <i>neue</i> Konstante)

Tab. 4.15: Tableauregeln für Quantoren

1.	$\neg [\forall x (P(x) \lor Q(f(x))) \to (\exists x P(x) \lor \forall x Q(f(x)))] \checkmark$	
2.	$\forall x (P(x) \lor Q(f(x))) \checkmark$	TR1, 1
3.	$\neg (\exists x P(x) \lor \forall x Q(f(x))) \checkmark$	TR1, 1
4.	$\neg \exists x P(x)$	TR3, 3
5.	$\neg \forall x Q(f(x))$	TR3, 3
6.	$\neg Q(f(a))$	TR13, 5
7.	$\neg P(a)$	TR11, 4
8.	$P(a) \vee Q(f(a)) \checkmark$	TR10, 2
	9. $P(a)$ 10. $Q(f(a))$	TR2, 8

Abb. 4.19: Ein Unerfüllbarkeitsnachweis mit PL1-Tableaubaum (mit Regelnummern und Knotennummern als Begründungen)

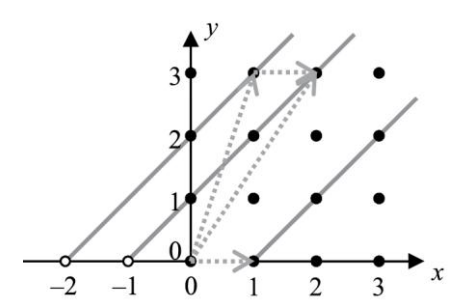
 $\frac{\mathsf{DE}}{\mathsf{G}}$ 

Reflexivität von =, Rf=	Symmetrie von =, Sy=	Transitivität von =, Tr=			
$\overline{\tau =  au}$	$\frac{\sigma = \tau}{\tau = \sigma}$	$\frac{\rho = \sigma, \ \sigma = \tau}{\rho = \tau}$			
Leibniz-Ersetzung, LE					
$rac{\sigma= au, oldsymbol{arphi}}{arphi_{\{\sigma/ au\}}}$					

**Tab. 4.16:** Neue Schlussregeln des PL1<sub>=</sub> -Werkzeugkastens

1	$\forall x (R(x,x) \to P(x))$	Geg		
1	$\forall \lambda(K(\lambda,\lambda) \to F(\lambda))$	deg		
2	$\neg P(f(a))$	Geg		
Zeige $\forall y (R(y, y) \rightarrow y \neq f(a))$				
3	$\neg \forall y (R(y, y) \to y \neq f(a))$	Ann		
4	$\exists y \neg (R(y, y) \rightarrow y \neq f(a))$	NAB, 3		
5	$\neg (R(b,b) \to b \neq f(a))$	EB, 4		
6	$R(b,b) \land \neg b \neq f(a)$	NFB, 5		
7	R(b,b)	UB, 6		
8	$R(b,b) \to P(b)$	AB, 1		
9	P(b)	MP, 7,8		
10	$\neg b \neq f(a)$	UB, 6		
11	b = f(a)	NNB, 10		
12	P(f(a))	LE, 9,11		
13		WE, 2,12		
14	$\forall y (R(y, y) \to y \neq f(a))$	IB		

Abb. 4.20: Ein PL1<sub>=</sub>-Werkzeugkasten-Beweis einer Folgerung aus einer Menge von PL1-Formeln



**Abb. 5.1:** Addition -2 + 1 = -1 über Repräsentanten der Äquivalenzklassen

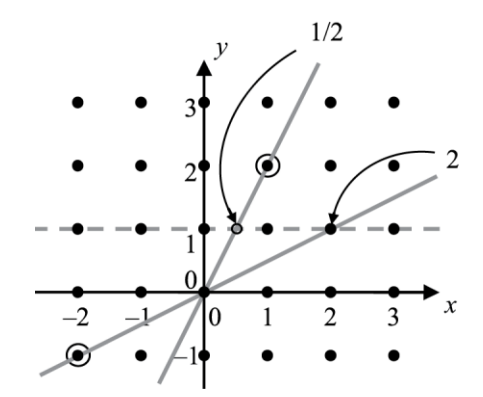


Abb. 5.2: Rationale Zahlen als Äquivalenzklassen

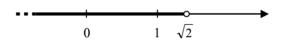
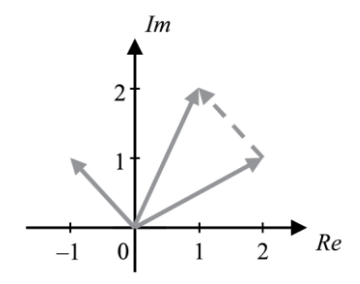


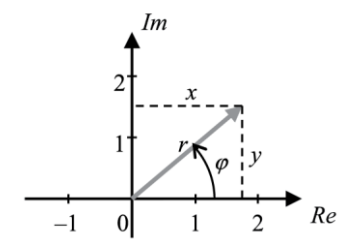
Abb. 5.3: Ein irrationaler Schnitt

$S_1 \cdot S_2 :=$		$0^*\!\leq\!S_1$	S <sub>1</sub> < 0*
	$0 \le S_2$	$S_1^+ \otimes S_2 \ (= S_1 \otimes S_2^+)$	$-((-S_1)\cdot S_2)$
	$S_2 < 0$	$-(S_1\cdot(-S_2))$	$(-S_1)\cdot(-S_2)$

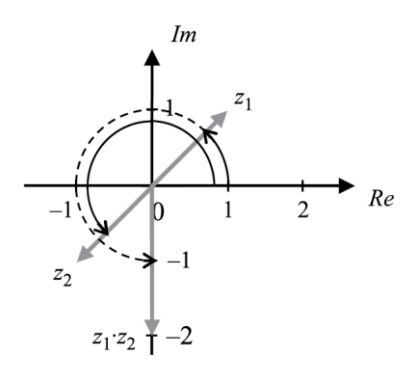
Tab. 5.1: Die Multiplikation von Schnitten



**Abb. 5.4:** 
$$(2 + i) + (-1 + i) = 1 + 2 \cdot i$$



**Abb. 5.5:** Die Polardarstellung einer komplexen Zahl



**Abb. 5.6:**  $z_1 \cdot z_1 (1 + i) \cdot (-1 - i) -2i$ 

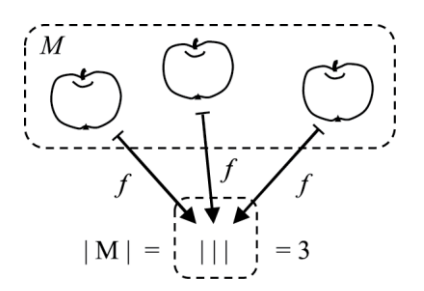


Abb. 5.7: Zählen mittels einer bijektiven Abbildung

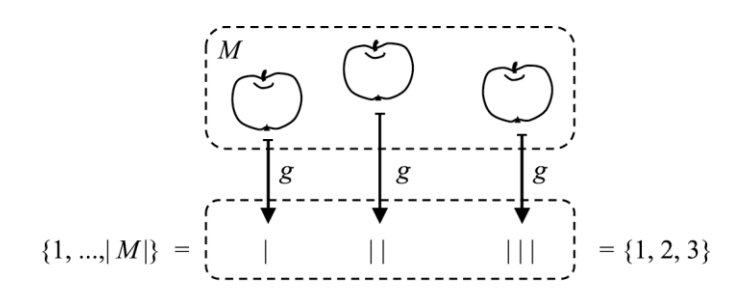
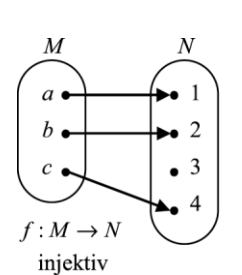
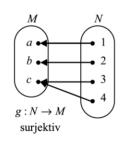
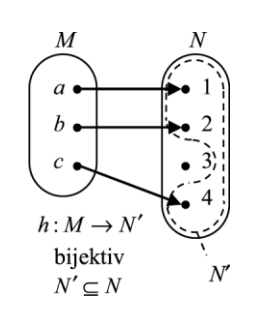


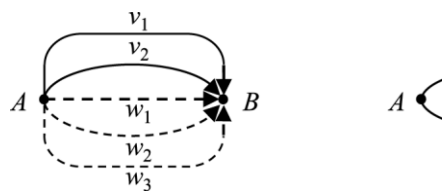
Abb. 5.8: Durchzählen mittels einer bijektiven Abbildung







**Abb. 5.9:** Mächtigkeitsvergleich  $M \leq N$  mittels Abbildungen



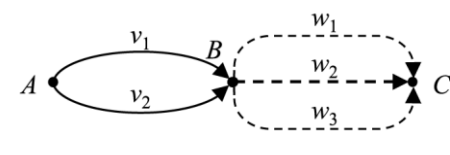
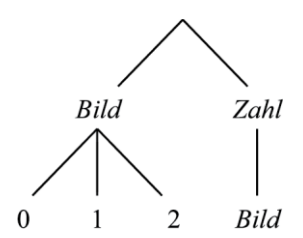


Abb. 5.10: Vereinigung und Verkettung von Auswahlmöglichkeiten



**Abb. 5.11:** Ein Baum von abhängigen Verkettungen von Auswahlen

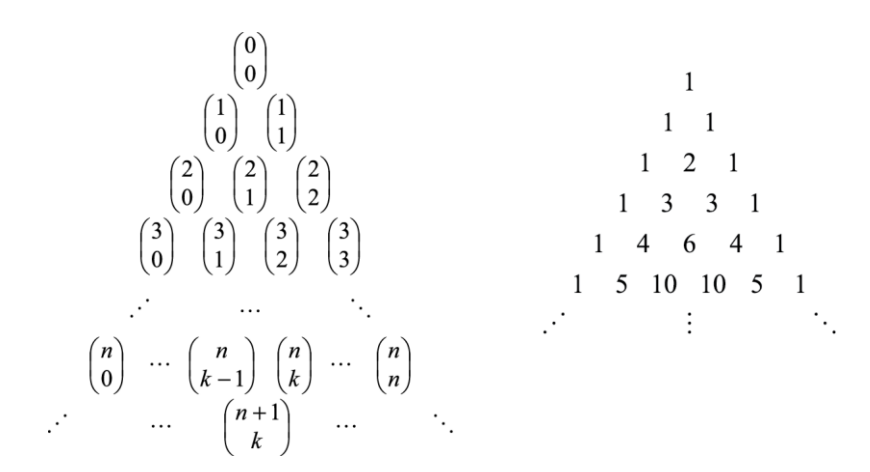


Abb. 5.12: Das Pascal'sche Dreieck – links als Formeln, rechts als Werte

Stichprobentyp	Тур	Anzahl (Name, Formel)	Alle möglichen Stichproben der Größe $k=2$ aus der Menge $\{a_1,a_2,a_3\}$ , also mit $n=3$ (ggf. in mehreren Schreibweisen)
Geordnete Stichprobe mit Zurücklegen	Tupel, Wort	$n^k$	$(a_1,a_1),(a_1,a_2),(a_1,a_3),(a_2,a_1),(a_2,a_2),(a_2,a_3),$ $(a_3,a_1),(a_3,a_2),(a_3,a_3)$ $a_1a_1,a_1a_2, a_1a_3, a_2a_1, a_2a_2, a_2a_3, a_3a_1, a_3a_2, a_3a_3$
Geordnete Stichprobe ohne Zurücklegen	_	$\frac{P(n,k)}{\frac{n!}{(n-k)!}}$	$(a_1, a_2), (a_1, a_3), (a_2, a_1), (a_2, a_3), (a_3, a_1), (a_3, a_2)$ $a_1a_2, a_1a_3, a_2a_1, a_2a_3, a_3a_1, a_3a_2$
Ungeordnete Stichprobe mit Zurücklegen	Multi- menge	$\frac{(n+k-1)!}{k!(n-1)!}$	$\begin{aligned} &\{a_1,a_1\}_{\mu},\{a_1,a_2\}_{\mu},\{a_1,a_3\}_{\mu},\{a_2,a_2\}_{\mu},\{a_2,a_3\}_{\mu},\{a_3,a_3\}_{\mu} \\ &00  ,0 0 ,0  0, 00 , 0 0,  00 \end{aligned}$
Ungeordnete Stichprobe ohne Zurücklegen	Teilmenge, Kombina- tion	$C(n,k), \binom{n}{k}$ $\frac{n!}{k!(n-k)!}$	$\{a_1,a_2\},\{a_1,a_3\},\{a_2,a_3\}$

**Tab. 5.2:** Geordnete und ungeordnete Stichproben der Größe k aus einer Menge der Größe n – Übersicht

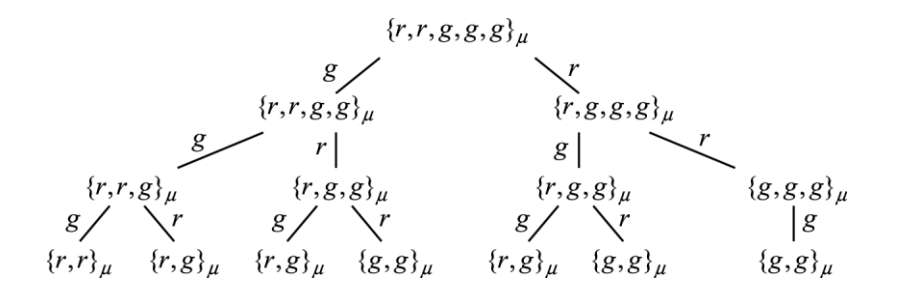
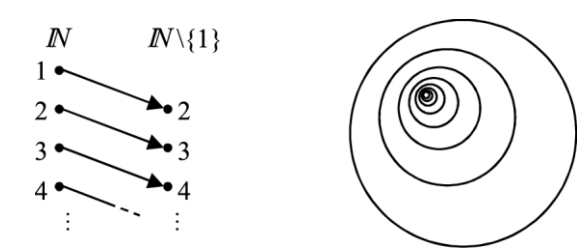


Abb. 5.13: Strukturbaum eines Experiments



**Abb. 5.14:** Aspekte der Unendlichkeit: eine Bijektion auf eine echte Teilmenge (links), eine unbegrenzt absteigende Kette echter Teilmengen (rechts)

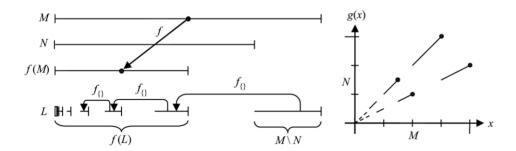


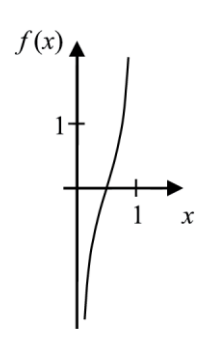
Abb. 5.15: Beispiel für Konstruktion der Bijektion auf die Zwischenmenge im Beweis von Satz 5.12

$$f(1) = 0, r_{11}r_{12}r_{13...}$$

$$f(2) = 0, r_{21}r_{22}r_{23...}$$

$$f(3) = 0, r_{31}r_{32}r_{33}r_{33}$$
:

Abb. 5.16: Die Ausgangssituation des Cantor'schen Diagonalverfahrens



**Abb. 5.17:**  $f(x) := \tan(\pi \cdot (x - 1/2))$ , eine Bijektion von (0,1) auf IR

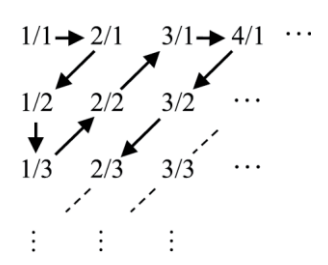


Abb. 5.18: Ein Durchzählen der positiven Brüche



**Abb. 5.19:** Addition 3 + 3 in  $\mathbb{Z}_5$ 

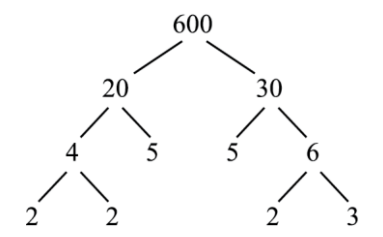
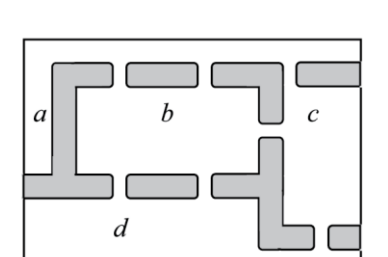


Abb. 5.20: Ein Teilerbaum einer natürlichen Zahl

$$A = \{a, b, c, d\}$$
 $R = \{A, \{(a, a), (b, c)\}\}$ 

Abb. 6.1: Mengentheoretische und bildliche Darstellung einer Relation auf einer Menge



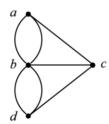


Abb. 6.2: Die Königsberger Brücken 1836 – kartographisch und als Graph

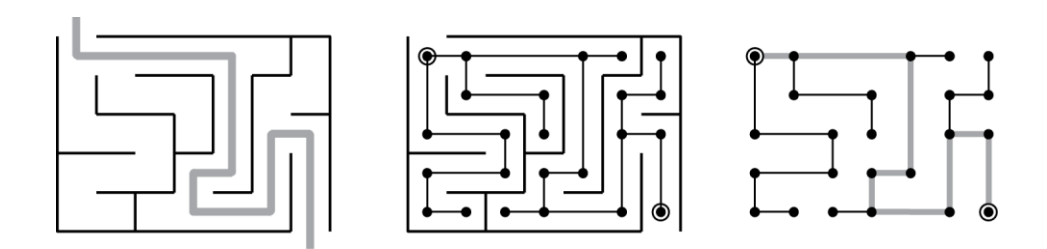
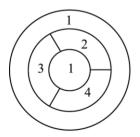
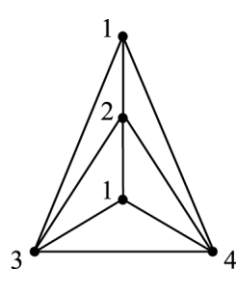


Abb. 6.3: Vom Labyrinth zum zugehörigen Graphen





**Abb. 6.4:** Benachbarte gefärbte Gebiete – geometrisch und als Graph

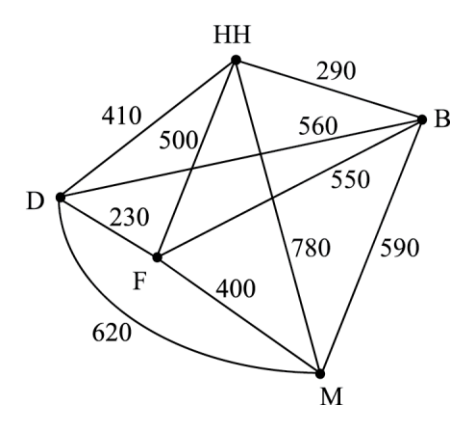


Abb. 6.5: Ein kleines Handlungsreisendenproblem

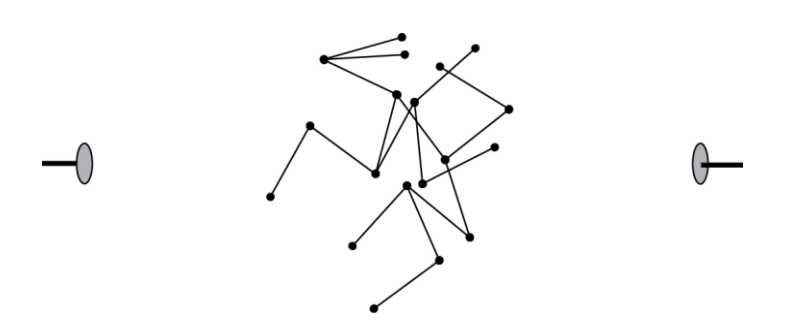
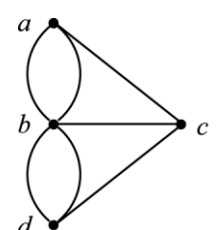


Abb. 6.6: Die Suche nach einem längsten Kantenzug



Abb. 6.7: Gleichwertige Darstellungen eines ungerichteten Graphen





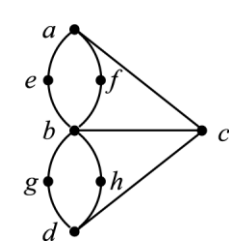
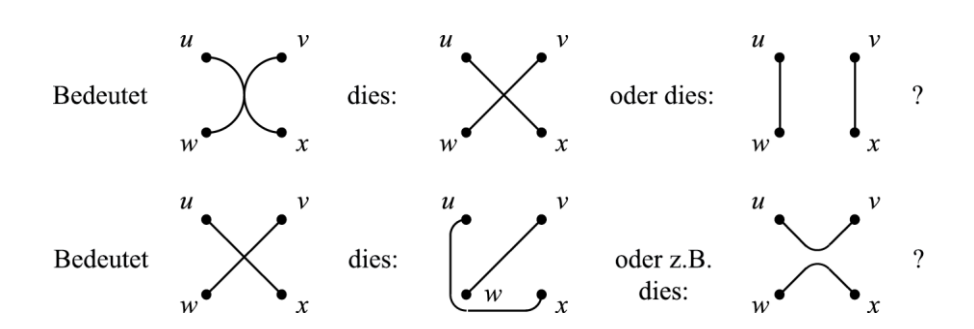


Abb. 6.8: Das Königsberger-Brücken-Problem mit und ohne Mehrfachkanten



**Abb. 6.9:** Mehrdeutigkeiten, die durch Zeichenkonvention vermieden (oben) bzw. durch Interpretationskonvention entschieden (unten) werden





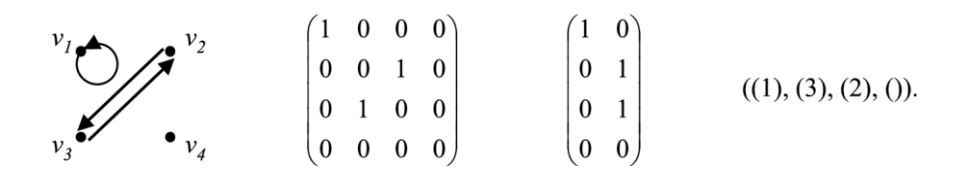




Abb. 6.10: Zwei planare (oben) und zwei nicht planare Graphen (unten)



Abb. 6.11: Knoteneinfügung (links) und Kantenkontraktion (rechts)



**Abb. 6.12:** Ein Beispiel zur Demonstration gleichwertiger Darstellungen eines Graphen, von links: Zeichnung, Nachbarschaftsmatrix, Inzidenzmatrix und Nachbarschaftsliste

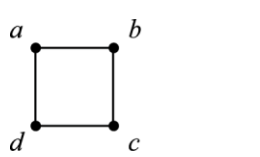




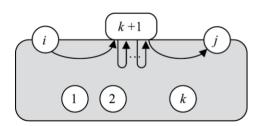
Abb. 6.13: Bilder desselben Graphen



Abb. 6.14: Isomorphie zweier Graphen



**Abb. 6.15:** Zwei Graphen, beide mit Zyklus *u v x u v x wu*, Pfad *u v x w* und Kreis *u v x wu* 



**Abb. 6.16:** Wege über Knoten  $\leq k + 1$ 

Abstand von a nach b	$d(a,b) := \min\{n \in \mathbb{N}_0 \mid \exists \text{ Weg } v_1 v_2 v_{n+1} \text{ von } v_1 = a \text{ nach } v_{n+1} = b\}$	
Exzentrizität von a	$e(a) := \max\{d(a,b) \mid b \in V\}$	
Radius von G	$r(G) := \min\{\varepsilon(a) \mid a \in V\}$	
Durchmesser von G	$d(G) := \max\{d(a,b) \mid a,b \in V\} = \max\{\varepsilon(a) \mid a \in V\}$	
Taillenweite von G	$g(G) := \min\{n > 2 \mid \exists \ a \in V, \text{ Weg } v_1 v_2 \dots v_{n+1} \text{ von } v_1 = a \text{ nach } v_{n+1} = a\}$	

Tab. 6.1: Einige Begriffe rund um die Weglängen<sup>114</sup>

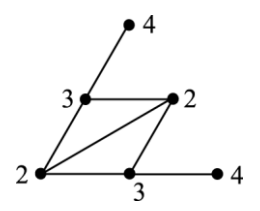


Abb. 6.17: Ein Beispiel für Weglängen-basierte Begriffe.

Abb. 6.18: Ein zusammenhängender (links) und ein unzusammenhängender ungerichteter Graph (rechts)





**Abb. 6.19:** Ein stark zusammenhängender (links) und ein schwach, aber nicht stark zusammenhängender gerichteter Graph (rechts)

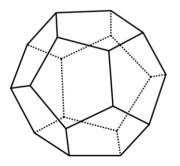


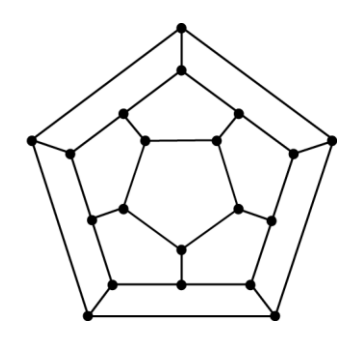




Abb. 6.20: Zwei Beispiele für Eulerwege







**Abb. 6.21:** Ein Dodekaeder – räumlich und eben





Abb. 6.22: Ein Baum (links) und seine gängige Darstellung (rechts)



Abb. 6.23: Ein zusammenhängender kreisfreier ungerichteter Graph – kurz: ein wurzelloser Baum





Abb. 6.24: Zwei Bäume – identisch, wenn ungeordnet, und unterschiedlich, wenn geordnet interpretiert

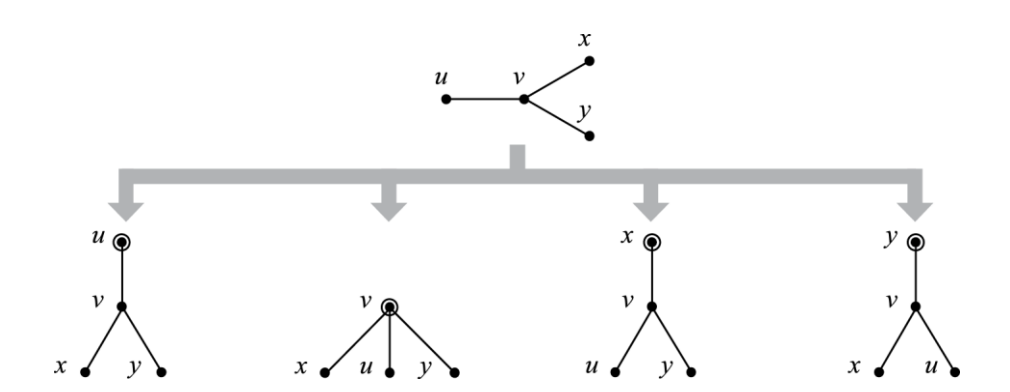
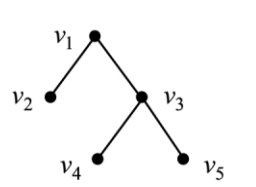
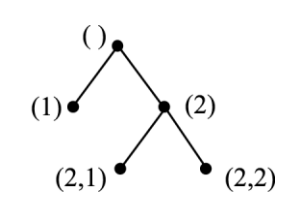


Abb. 6.25: Mögliche Auswahlen einer Wurzel in einem kreisfreien ungerichteten Graphen





**Abb. 6.26:** Der geordnete Baum  $(v_1,((v_2,()),(v_3,(\ (v_4,()),(v_5,(\ ))))))$  und sein **Adressenbaum** 

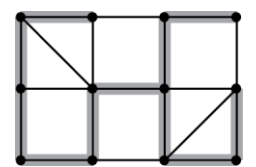


Abb. 6.27: Ein Graph und einer seiner Spannbäume







Abb. 6.28: Ein zu durchlaufender Baum (links), durchlaufen mit Tiefensuche (Mitte) und mit Breitensuche (rechts)

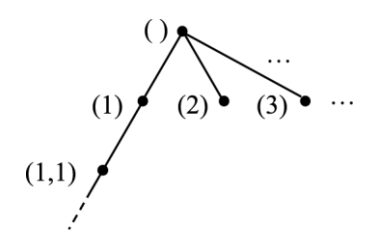


Abb. 6.29: Unendlichkeit in Bäumen



Abb. 6.30: Ein knoten- und kantenbeschrifteter gerichteter Graph

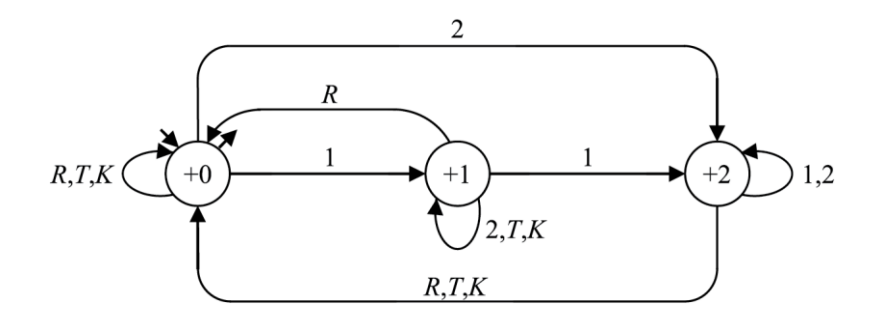


Abb. 6.31: Ein Verkaufsautomat als endlicher Automat

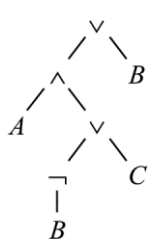


Abb. 6.32: Ein Syntaxbaum aus der Aussagenlogik

118



Abb. 6.33: Ein ungerichteter Graph und ein Spannwald für ihn

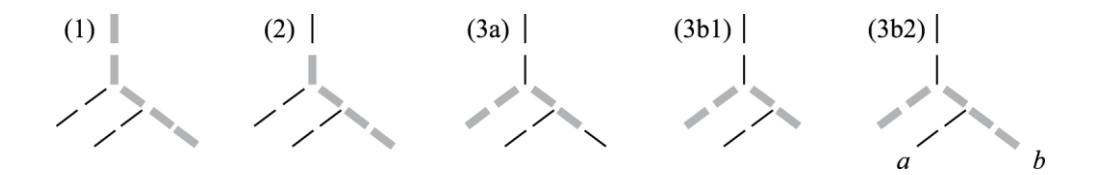


Abb. 6.34: Mögliche (1 und 3b2) und unmögliche Lagen eines Durchmesserpfads im Baum

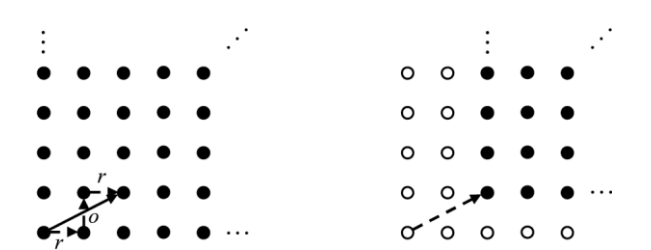


Abb. 7.1: Verschiebung ror eines nach rechts und oben unendlichen Gitters

$(\mathbb{Z}_5,+)$ :	+	0	1	2	3	4
	0	0	1	2	3	4
	1	1	2	3	4	0
	2	2	3	4	0	1
	3	3	4	0	1	2
	4	4	0	1	2	3

$\mathbb{Z}_{5}\setminus\{0\}$ , $\cdot$ ):	•	1	2	3	4
	1	1	2	3	4
	2	2	4	1	3
	3	3	1	4	2
	4	4	3	2	1

Tab. 7.1: Multiplikationstafeln zweier Gruppen



Abb. 7.2: Ein Graph mit zwei und ein Graph mit sechs Symmetrien

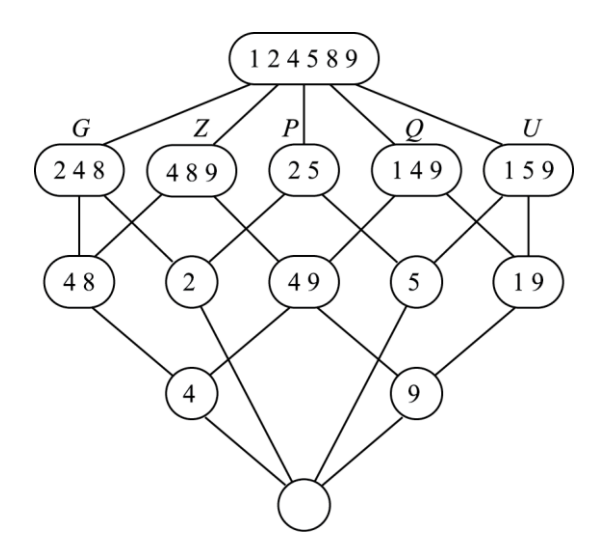


Abb. 7.3: Hasse-Diagramm eines Begriffsverbandes

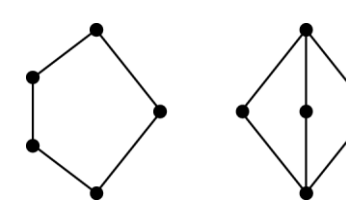
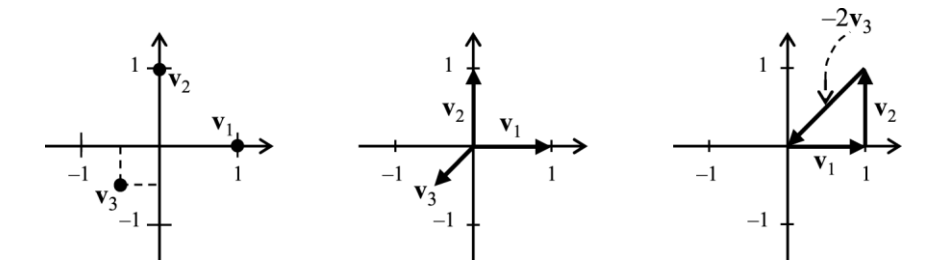
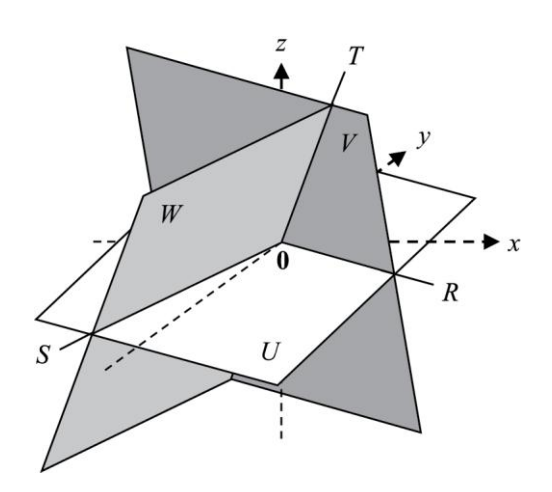


Abb. 7.4: Charakteristische Unterverbände bei Nicht-Distributivität



**Abb. 7.5:**  $(v_i)_{1 \le i \le 3}$ , eine Familie von Vektoren: Punkt- und Pfeildarstellung, lineare Abhängigkeit



**Abb. 7.6:** Einige Unterräume des  $\mathbb{R}^3$ 

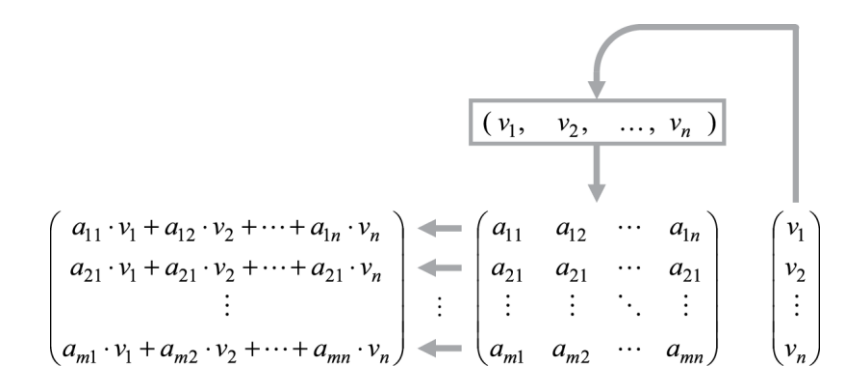


Abb. 7.7: Matrix-mal-Vektor

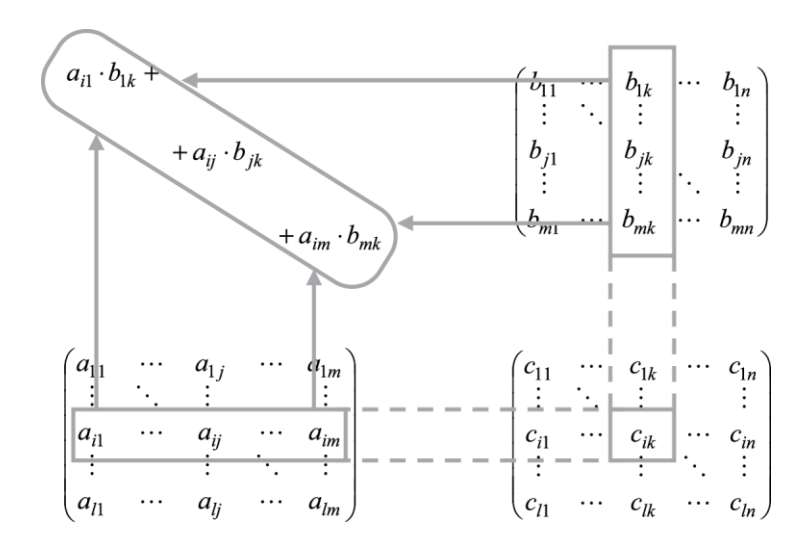


Abb. 7.8: Matrixmultiplikation

(1)	1	2	3	12	0
(2)			1	-2	2
(3)				1	-1

0 x <sub>1</sub>	+2 x <sub>2</sub>	$+ 3 x_3$	12 <i>x</i> <sub>4</sub>	=	0
$0x_1$	$+0 x_2$	$-x_3$	2 <i>x</i> <sub>4</sub>	=	2
0 x <sub>1</sub>	+0 x <sub>2</sub>	$+ 0 x_3$	$x_4$	=	-1

Tab. 7.2: Lineares Gleichungssystem in normierter Stufenform, knapp und ausgeschrieben

Abb. 7.9: Ein Beispiel für die Erzeugung der normierten Stufenform

Abb. 7.10: Ein Beispiel für die Invertierung einer Matrix

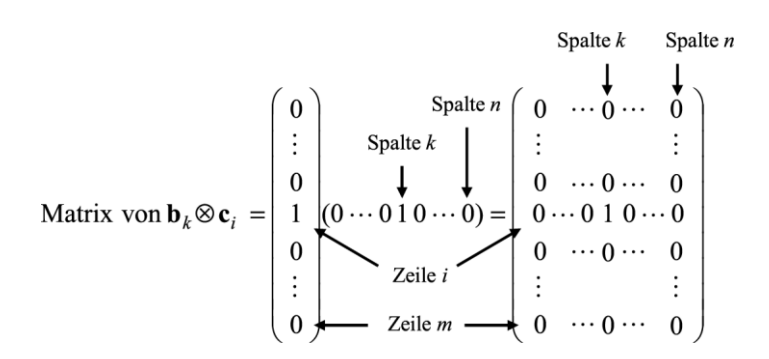
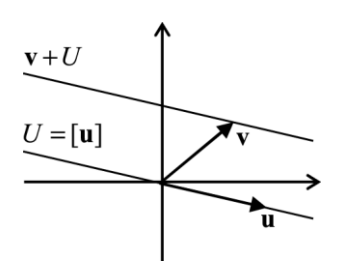


Abb. 7.11: Ein Tensorprodukt von Basisvektoren

$$Rest((a_{ik}), z, s) : \begin{bmatrix} a_{11} & \cdots & a_{1k} & \cdots & a_{1n} \\ \vdots & \ddots & \vdots & & \vdots \\ a_{i1} & \cdots & a_{ik} & \cdots & a_{in} \\ \vdots & & \vdots & \ddots & \vdots \\ a_{l1} & \cdots & a_{lk} & \cdots & a_{ln} \end{bmatrix}$$

$$\begin{vmatrix} a_{11} & a_{12} \\ a_{21} & a_{22} \end{vmatrix} = a_{11} \cdot a_{22} - a_{21} \cdot a_{12}$$

**Abb. 7.12:** Restmatrix beim Entwicklungssatz, Determinantenberechnung 2 × 2 und 3 × 3.



**Abb. 7.13:** Ein affiner Unterraum  $\mathbf{v} + U$  des  $\mathbb{R}^2$ 

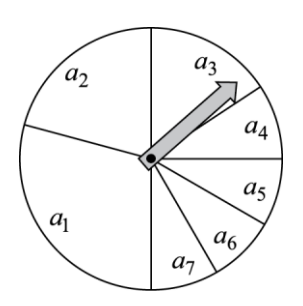
D	Ε
7	7
•	ر

einsortig	g:		mehrsort	tig:		
def	Gruppe		def	StapelNat	tuerlicherZahlen	
sorten	grupel;		sorten	nat, sta;		
operator	en		operator	en		
	e:	$\rightarrow$ grupel;		null:	$\rightarrow$ nat;	
	inv:	grupel $\rightarrow$ grupel;		leer:	$\rightarrow$ sta;	
	mul:	grupel, grupel $\rightarrow$ grupel;		nachfo:	$nat \rightarrow nat;$	
axiome				stapeln:	$sta, nat \rightarrow sta;$	
fuer alle x, y, z in grupel:		1	oberste:	$sta \rightarrow nat;$		
	mul(mu	l(x,y),z) = mul(x, mul(y,z));		abheben:	$sta \rightarrow sta;$	
	mul(x,e)	) = x;	axiome			
	mul(e,x)	) = x;	fuer alle	fuer alle x in nat; s in sta: oberste(leer) = null;		
	mul(x,ir	$\operatorname{nv}(\mathbf{x}) = \mathbf{e};$	1			
	mul(inv	(x),x)=e;	1	oberste(st	tapeln(x,s) = x;	
ende_de	r_def			abheben(leer) = leer;		
				abheben(s	stapeln(x,s)) = s;	
			ende_de	r_def		

Tab. 7.3: Zwei Spezifikationen mit Sorten, Operatoren und Axiomen in Form von Gleichungen



Abb. 7.14: Zwei triviale 3-Zöpfe und ein nicht-trivialer 3-Zopf



**Abb. 8.1:** Ein Glücksrad mit W-Raum ( $\{a_1, a_2, ..., a_7,\}, P$ ), in dem  $P(\{a_1, a_2\}) = 1/2$  gilt

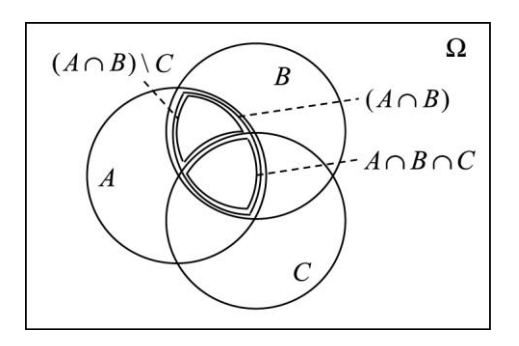


Abb. 8.2: Zur Siebformel mit drei Mengen

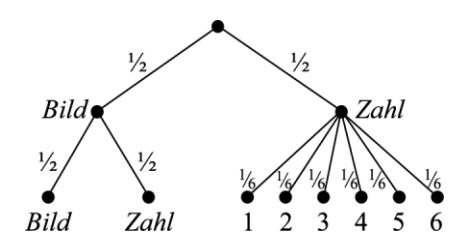


Abb. 8.3: Ein mehrstufiges Zufallsexperiment

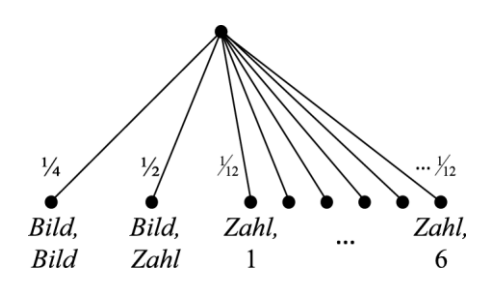


Abb. 8.4: Einstufige Interpretation eines mehrstufigen Zufallsexperiments

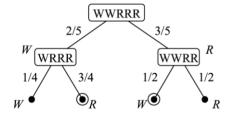


Abb. 8.5: Ziehen ohne Zurücklegen als mehrstufiges Zufallsexperiment

х	1	2	3	4	5	6
G(x)	1	1	3	3	5	5

x	1	2	3	4	5	6
H(x)	5	2	2	2	2	5

**Tab. 8.1:** Gewinne *G* für Ann, *H* für Ben

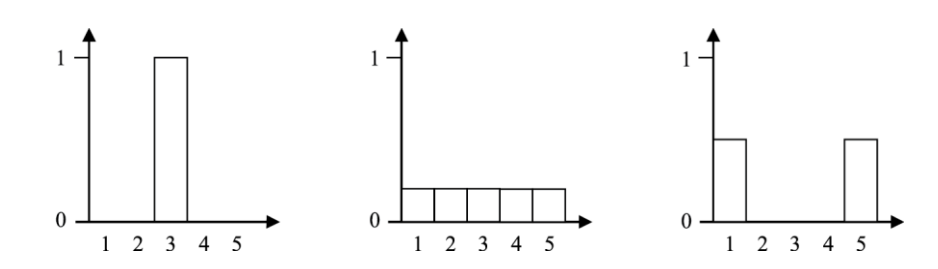
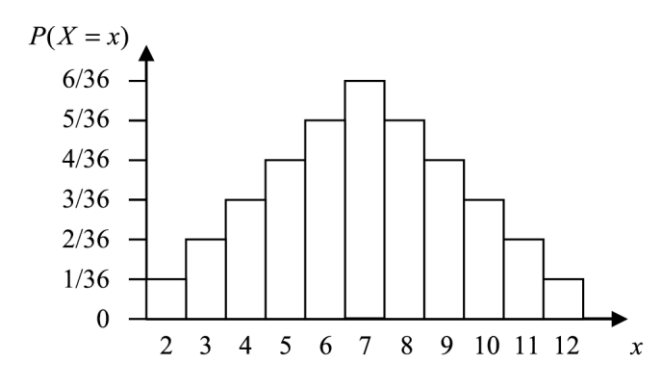
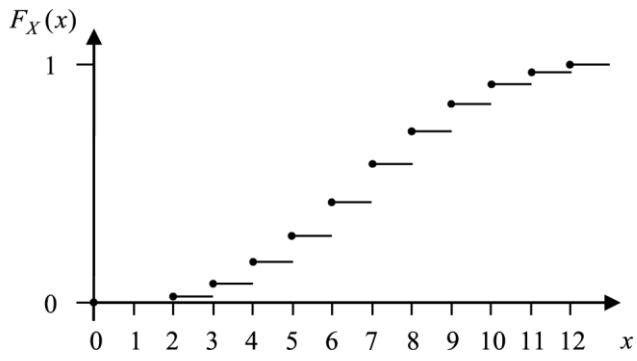


Abb. 8.6: Drei Verteilungen mit gleichem Erwartungswert und unterschiedlicher Varianz





**Abb. 8.7:** Die Wahrscheinlichkeiten P(X = x) (oben) und die kumulative Verteilungsfunktion  $F_X$  (unten) der Augensumme zweier Würfel.

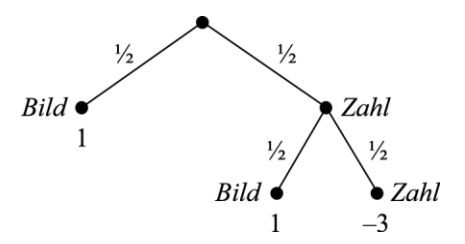


Abb. 8.8: Ein Beispiel für die Verdopplungsstrategie

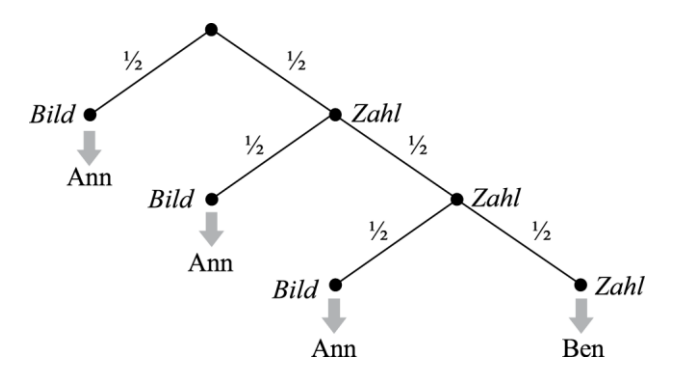


Abb. 8.9: Berechnung der Wahrscheinlichkeiten beim Aufteilungsproblem

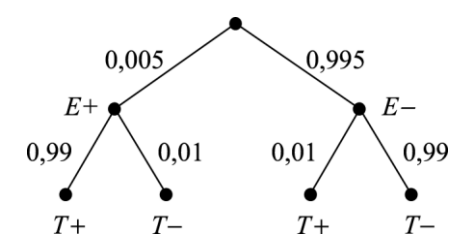


Abb. 8.10: Eigenschaft und Testergebnis als mehrstufiges Zufallsexperiment

DE

$\downarrow$ von nach $\rightarrow$	(RR,WW)	(RW,RW)	(WW,RR)	
(RR,WW) 1/3		2/3	0	
(RW,RW)	1/6	2/3	1/6	
(WW DD)	0	2/2	1 /2	

Tab. 8.2: Übergangswahrscheinlichkeiten beim ersten endlosen Urnenspiel



Abb. 8.11: Graphische Darstellung von Tab. 8.2

$\downarrow$ von nach $\rightarrow$	0	1	2	3	
0	1/2	1/2	0	0	
1	1/2	0	1/2	0	
2	0	1/2	0	1/2	0
:	0	0			

Tab. 8.3: Einige Übergangswahrscheinlichkeiten beim zweiten endlosen Urnenspiel

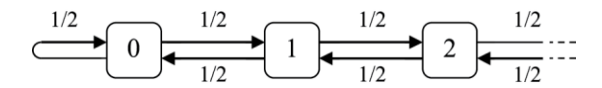


Abb. 8.12: Graphische Darstellung von Tab. 8.3



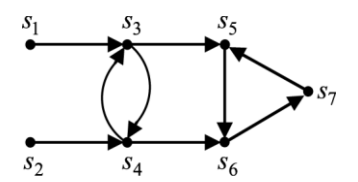


Abb. 8.13: Fallen in gerichteten Graphen

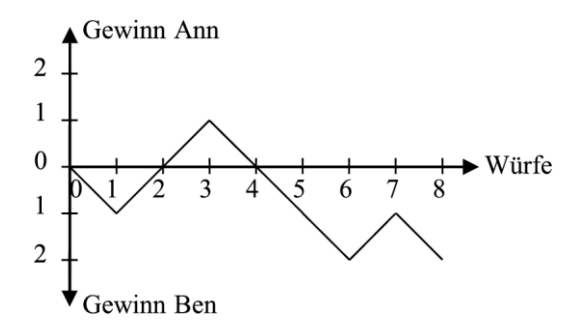


Abb. 8.14: Gewinnstand bei wiederholten Münzwürfen

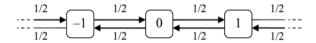


Abb. 8.15: Ein einfacher Irrweg als unendliche Kette

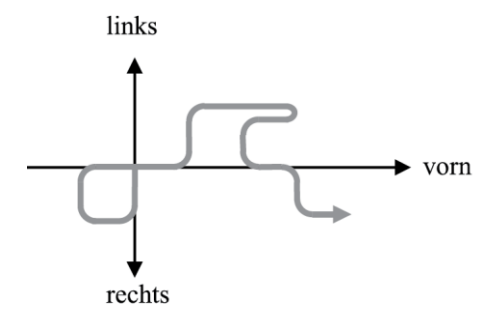


Abb. 8.16: Ein "biased random walk"

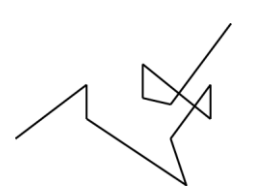


Abb. 8.17: Eine Brown'sche Bewegung